

Bild C2: 5 visuell gleichabständige  $L^*$ -Graustufen +  $N_0$  +  $W_I$ ; Benutzung des PS-Operators 000n\* setcmykcolor

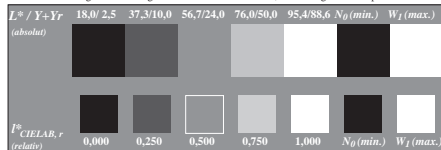


Bild C2: 5 visuell gleichabständige  $L^*$ -Graustufen +  $N_0$  +  $W_I$ ; Benutzung des PS-Operators w\* setgray

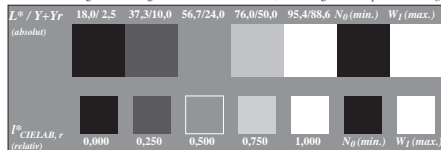


Bild C2: 5 visuell gleichabständige  $L^*$ -Graustufen +  $N_0$  +  $W_I$ ; Benutzung des PS-Operators nnn0\* setcmykcolor

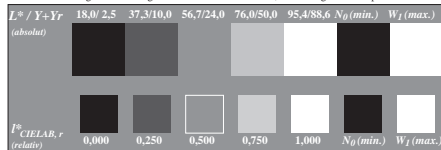


Bild C2: 5 visuell gleichabständige  $L^*$ -Graustufen +  $N_0$  +  $W_I$ ; Benutzung des PS-Operators www\* setrgbcolor

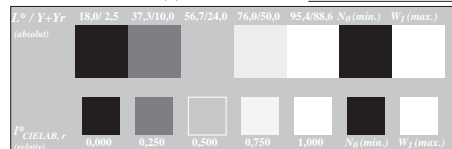


Bild C2: 5 visuell hellere  $L^*$ -Graustufen +  $N_0$  +  $W_I$ ; Benutzung des PS-Operators 000n\* setcmykcolor

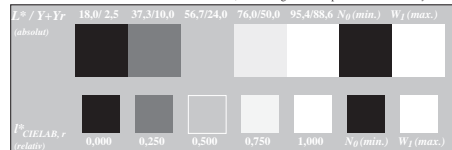


Bild C2: 5 visuell hellere  $L^*$ -Graustufen +  $N_0$  +  $W_I$ ; Benutzung des PS-Operators w\* setgray

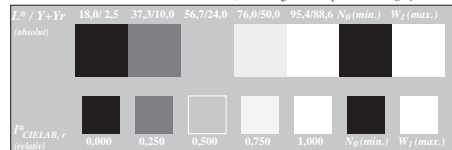


Bild C2: 5 visuell hellere  $L^*$ -Graustufen +  $N_0$  +  $W_I$ ; Benutzung des PS-Operators nnn0\* setcmykcolor

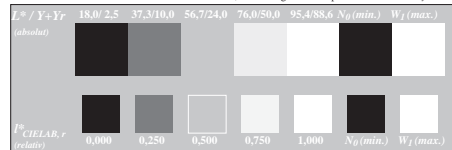


Bild C2: 5 visuell hellere  $L^*$ -Graustufen +  $N_0$  +  $W_I$ ; Benutzung des PS-Operators www\* setrgbcolor

Fig. C2 von ISO/IEC-Prüfvorlage Nr. 3; ISO/IEC 15775 und input: mixture (m) of PS operators  
DIS ISO/IEC 19839-X; output: cmy0\* / 000n\* setcmykcolor